

بررسی الگوهای رشد و دوشکلی جنسی جمجمه در خرس قهوه‌ای (*Ursus arctos Linnaeus, 1758*) در رشته کوه‌های البرز ایران

باقر نظامی بلوچی^{۱*}، محمود کرمی^۲، سهیل ایگدری^۳، محمد کابلی^۴

۱. دانشجوی دکتری محیط زیست گروه محیط زیست و انرژی، دانشگاه آزاد اسلامی واحد علوم و تحقیقات تهران
۲. گروه محیط زیست، دانشکده منابع طبیعی، پردیس کشاورزی و منابع طبیعی کرج، دانشگاه تهران
۳. گروه شیلات، دانشکده منابع طبیعی، پردیس کشاورزی و منابع طبیعی کرج، دانشگاه تهران کرج، دانشگاه تهران

(تاریخ دریافت: ۱۳۹۲/۶/۱۳ - تاریخ تصویب: ۱۳۹۲/۷/۲۱)

چکیده

در این پژوهش به دو روش ریخت‌سنگی سنتی و هندسی، الگوی رشد جمجمه‌ای و دوریختی جنسی خرس‌های قهوه‌ای^۱ از نبالغ تا بالغ در دو جنس نر و ماده در محدوده رشته‌کوه البرز بررسی و مقایسه شد. داده‌های بررسی شده از تصاویر دوبعدی تهیه شده از نمونه‌ها توسط نرم‌افزار Image استخراج و الگوی رشد آلومتری به صورت تابع توانی طول کل با استفاده از داده‌های تغییرنیافته اندازه‌گیری شدند. نتایج گویای تغییرات بین بخش‌های مختلف جمجمه در افراد بالغ در روش مبتنی بر شکل بود. مطالعه الگوی رشد آلومتری برپایه داده‌های قابل اندازه‌گیری، الگوهای تغییرات جمجمه را در طول رشد بین نرها و ماده‌ها به خوبی نشان داد. طی توسعه بخش‌های مختلف جمجمه از نبالغ به بالغ دو جنس نر و ماده، رشد به شکل متعادل تا سن مشخص یعنی تا زمانی که دوریختی جنسی در دو جنس شروع به ظهور می‌کند ادامه می‌یابد. مقایسه اشکال به دست‌آمده دو جنس گویای تقویت و استحکام بیشتر بخش‌های مختلف جمجمه در جنس نر است. بررسی دوریختی جنسی جمجمه خرس‌ها با استفاده از ریخت‌سنگی هندسی نشان‌دهنده وجود دوریختی جنسی در بخش‌های مختلف جمجمه در هر سه نمای پشتی، جانبی و شکمی است. به‌طور کلی، جمجمه در جنس نر بالغ تمایل به بزرگ‌تر شدن و استحکام به نسبت جمجمه ماده بالغ دارند. در مقابل ماده‌های بالغ نسبت به همنوعان نر خود جمجمه بلندتر، باریک‌تر و ضعیف‌تری دارند.

کلیدواژگان: الگوی رشدشناسی، جمجمه، خرس قهوه‌ای، دوریختی جنسی، رشته‌کوه البرز، ریخت‌سنگی هندسی.

کاربرد دارد (Sansom, 2009). برخلاف ریختسنگی سنتی، در ریختسنگی هندسی اطلاعات شکل از مختصات لندمارک‌ها به دست می‌آید (Adams *et al.*, 2004) که در واقع نقاطی هستند که براساس کارکرد زیست‌شناختی آن‌ها تعیین می‌شوند (Richtsmeier *et al.*, 2002). همچنین، تحلیل‌های ریختسنگی هندسی لندمارک پایه، این امکان را به ما می‌دهند تا تفاوت‌های شکلی قابل دیدن شوند.

در راه مطالعه دوریختی جنسی و چگونگی ایجاد تغییرات در جمجمه خرس‌های قهوه‌ای ایران، تنها مطالعه افراد بالغ کافی نیست بلکه آگاهی از تغییرات اندازه جمجمه و شکل در طول تغییرات فردزایی نیز لازم است. اگرچه در این مطالعه نمی‌توان بیان کرد که کدام تغییرات دقیقاً در چه سنی بین نرها و ماده‌ها ظاهر می‌شود و آیا این تغییرات به طور هم‌زمان در تمام بخش‌های جمجمه اتفاق می‌افتد یا نه. آلومتری بهمنزله رشد ناهمسان بخش‌های مختلف بدن، یک ویژگی معمول در تکوین جانوران است (Fuiman, 1983). آلومتری توصیف ارتباط بین ابعاد اندام‌های موجودات زنده و تغییرات مطلقی است که این اندام‌ها نسبت به یکدیگر دارند. مطالعه روند تکوین ریختی و الگوهای رشد این امکان را می‌دهد تا تقدم شکل‌گیری اندام‌ها و سازگاری‌های مربوط به انداره در آن‌ها درک شود و شناخت بهتری پیرامون زیست‌شناسی، رفتار و اکولوژی آن‌ها به دست آید (Gisbert, 1999). همچنین می‌توان در زیست‌شناسی و ارزیابی شکل‌گیری ریختی گونه‌ها استفاده شود (Koumoundouros *et al.*, 1999).

ازین‌رو در این مطالعه با هدف بررسی الگوی رشد آلومتری جمجمه و دوریختی جنسی خرس قهوه‌ای در جمعیت رشته‌کوه البرز به اجرا درآمد. مهم‌ترین مشکل این بررسی فقدان جمجمه کافی از افراد نابالغ و ماده‌ها بود. بنابراین، ازانجاكه جمجمه کافی از حوزه قفقاز و زاگرس به دست نیامد، محدوده مطالعه تنها به البرز محدود شد. البته این امر بهدلیل تلفات کم نبوده است، بلکه

۱. مقدمه

خرس قهوه‌ای ایران (*Ursus arctos*) به طور گسترده در شمال، غرب و شمال غربی کشور در امتداد رشته‌کوه‌های البرز (آستارا تا شرقی‌ترین ناحیه استان گلستان)، زاگرس (جنوب آذربایجان تا نزدیک شیراز در استان فارس) و محدوده ارسباران (استان‌های آذربایجان شرقی، غربی و اردبیل) پراکنش دارد (Lay, 1967; Etemad, 1985; Ziyaie, 2007; Nezami, 2007). در بررسی تنوع ریختی و تغییرات فردزایی^۱ مهره‌داران از ویژگی‌های جمجمه استفاده می‌شود، چراکه هر دو خصوصیات ژنتیکی و فشارهای عملکرد محیطی بر روی آن مؤثرند (Caumul & Polly, 2005; Cordeiro-Estrela *et al.*, 2008; Tabatabaei, 2011). بررسی الگوی رشد آلومتری یا تغییرات اونتوفنوتیک، تغییرات اندازه و شکل گونه یا ساختار آن مثل جمجمه را در طول رشد جانور از نابالغ تا بالغ بررسی می‌کند. شناخت الگوی رشد آلومتری جمجمه موجود به درک تغییرات اندازه و شکل آن در طول رشد و شناخت تنوع ناشی از دوریختی جنسی در افراد بالغ کمک می‌کند (-Grandal & Lopez-Gonzalez, 2005) و داده‌های لازم برای مطالعه تغییرات بین جنس‌های نر و ماده را در سنین مختلف فراهم می‌کند.

دوریختی جنسی پدیده‌ای رایج در اغلب گونه‌هایی است که نظام تولیدمثلی چندزنی دارند و شدت آن گویای شدت رقابت نر-نر است (Christiansen & Harris, 2012). کمی کردن تغییرات ریختی دو جنس خرس قهوه‌ای ممکن است ما را در درک تاریخ طبیعی گونه در محدوده زیستی آن کمک کند چراکه این امر چه از نظر تئوری و چه کاربردی در درک بوم‌شناسی گونه مؤثر است. بررسی‌های دوریختی جنسی در این پژوهش با استفاده از روش ریختسنگی هندسی انجام شد. این روش کمی به طور گسترده برای مقایسه تغییرات اشکال ساختارهای زیست‌شناسی

تشخیص جنس آن‌ها احتمال خطا وجود دارد. براساس Zavatsky (۱۹۷۶) نیز، تشخیص جنسیت در جمجمه‌های نابالغ براساس خصوصیات ظاهری امکان‌پذیر نیست. اندازه‌گیری ساختال و طول استخوان کندیلو بازال با استفاده از نرم‌افزار ImageJ ver 1.45s Chestin (۱۹۹۸؛ Sacco & Valbenburgh, & Mikeshina, 1998؛ Rausch, 1963؛ 2004).

نمونه‌های جمجمه نر بیشتر از ماده‌ها و نابالغ‌ها بودند چراکه مورد علاقه شکارچیان و موزه‌داران هستند و همچنین تعارض بیشتری را نیز با مردم محلی دارند، بنابراین تلفات در آن‌ها بالاست.

۱۰.۲ روش سنتی

از آنجاکه تغییرات رشدی طی فرایند فردزادی‌یی جمجمه نیازمند بررسی‌های اندازه در طول رشد است، بنابراین برای بررسی الگوی رشد آلمتری از روش ریخت‌سنگی سنتی استفاده شد. بر این اساس تعداد ۹ فاصله بر روی نماهای پشتی و شکمی از روی تصاویر تهیه شده با استفاده از نرم‌افزار ImageJ سنجیده شدند (شکل ۱). برای استخراج داده‌ها از جمجمه‌های نمونه‌برداری شده تصاویر دوبعدی توسط دوربین دیجیتال مدل Fuji HS10 تهیه شد. برای این منظور دوربین بر روی یک سه‌پایه تراز و از نماهای پشتی، جانبی و شکمی جمجمه‌ها براساس یک روش استانداردشده عکس‌برداری شد. در تمامی عکس‌ها یک کاغذ میلی‌متری و خط‌کش نیز در کنار نمونه قرار داده شدند تا مقیاس تصاویر هنگام تجزیه و تحلیل به دست آید. صفات اندازه‌گیری جمجمه عبارت‌اند از: ۱. طول کل جمجمه؛ ۲. پهنای آرک‌های زیگوماتیک همسان (عرض کل جمجمه)؛ ۳. فاصله ساختار هشتی همسان استخوان چشمی؛ ۴. فاصله بین دو زائدۀ چشمی آرک‌های زیگوماتیک (عرض پیشانی)؛ ۵. خط عرضی پهنای حفره استخوان بینی؛ ۶. بیشترین طول استخوان بینی؛ ۷. طول حفره استخوان جلوی بینی (طول پوزه)؛ ۸. طول مستوئیدهای

تنها عامل، نبود آگاهی مردم و کارشناسان و معصوم کردن جمجمه‌های است. همچنین بیش از ۷۰ نمونه در موزه سازمان حفاظت محیط زیست موجود است که متأسفانه به‌دلیل شناسنامه‌دار نبودن و مشخص نبودن موقعیت مکانی از آن‌ها استفاده نشد.

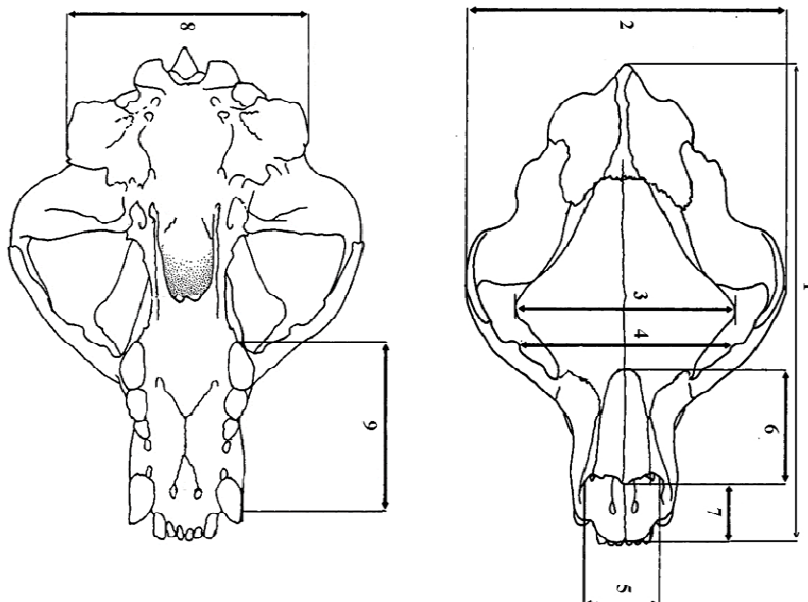
۲. مواد و روش‌ها

محدوده این بررسی رشتۀ کوه البرز یعنی از آستانه در غربی‌ترین نقطه استان گیلان تا شرقی‌ترین بخش استان گلستان است. محدوده شمال کشور که به‌دلیل وجود جنگل‌های انبوه به‌ویژه در ضلع شمالی، چشم‌اندازهای ایرانی- تورانی در ضلع جنوبی، محدوده ارتفاعی تا ۵۶۰۰ متر که علفزارهای حاشیه جنوبی دریای خزر را نیز شامل می‌شود، پناهگاه بزرگ‌ترین جمعیت خرس قهوه‌ای در کشور است (Etemad, 1985؛ Gutleb & Ziaie, 1999؛ Nezami, 2007). جنگل‌هایی که بسیاری از بخش‌های آن در ارتفاعات از دی‌تا فروردین به زیر برف می‌روند. این مناطق در مجموع زیستگاه مناسب‌تری را برای خرس‌ها فراهم می‌کنند. این مطالعه از سال ۱۳۹۰ تا ۱۳۹۲ با جمع‌آوری ۴۶ نمونه جمجمه (۲۴ نر، ۱۱ ماده و ۱۱ نابالغ) از موزه‌های اداره‌های کل حفاظت محیط زیست استان‌ها، موزه‌های شخصی و خرس‌هایی که در طبیعت تلف می‌شدن، انجام شد. نمونه جمجمه‌های به‌دست‌آمده براساس محدوده جمع‌آوری، بالغ و نابالغ و جنسیت گروه‌بندی شدند. تشخیص جمجمه خرس‌های بالغ و نابالغ و جنسیت آن‌ها براساس ساختار ظاهر بیرونی مانند شاخص‌های تغییر پوشش دندان، وضعیت درزهای جمجمه، طول کندیلو بازال و همچنین طول تیغه ساختال صورت گرفت (Zavatsky, 1976). این روش، الگویی ساده دارد که پس از تفکیک بالغ‌ها از نابالغ‌ها می‌توان با الگوی ارائه شده، جنس‌ها را جدا کرد. دلیل جدا کردن نابالغان از بالغ‌ها آن است که در

بر روی داده‌های لگاریتمی شده با استفاده از طول کل به منزله متغیر مستقل انجام شد. نقاط عطف^۱ منحنی‌های رشد براساس روش Van Snik و همکاران (۱۹۹۷) تعیین شد. پس از تعیین نقاط عطف رشد، نرخ‌های رشد منطقه‌ای توسط مدل Huxley براساس (Fuiman, 1983) انجام شد. آنالیز داده‌ها در مایکروسافت اکسل ۲۰۱۳ و نرم‌افزار Minitab نسخه ۱۶ انجام پذیرفت.

همسان؛ و ۹. فاصله لبه پیشین بزرگ‌ترین نیش و لبه عقبی‌ترین دندان آسیا (طول ردیف دندانی) (شکل ۱).

الگوی رشد آلومتری به صورتتابع توانی طول کل با استفاده از داده‌های تغییرنیافته اندازه‌گیری شدند که در آن a عرض از مبدأ^۱ و b ضریب رشد است. در این فرمول $a = b = 1$ بیانگر رشد ایزومتریک، $a > 1$ نشان‌دهنده رشد آلومتری مثبت و $a < 1$ بیانگر رشد آلومتری منفی است. رگرسیون خطی



شکل ۱. اندازه‌گیری‌های صفات جمجمه خرس قهوه‌ای در بررسی الگوی رشد آلومتری

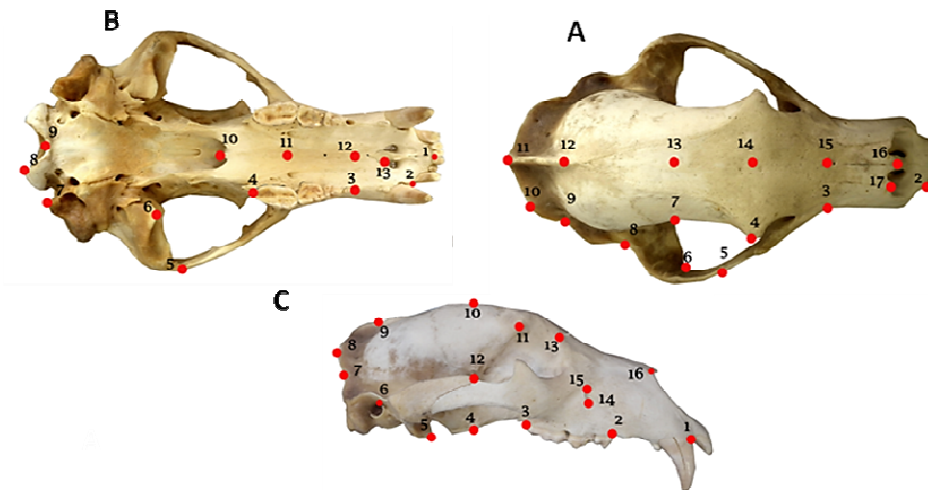
برنامه TpsDig2 ver,1.33 (Rohlf, 2006) به یک فایل قبل اجرا در برنامه TpsDig2 تبدیل و سپس لندهارک‌گذاری بر روی سه‌نمای جمجمه‌ها، با استفاده از نرم‌افزار (Rohlf, 2006) TpsDig2 ver,2.10 دلیل تعریف شبه لندهارک، عدم امکان قراردادن لندهارک در برخی بخش‌ها بود. برای اجتناب از ایجاد اطلاعات اضافی در ساختارهای متقاضی فقط یک نیمه‌جمجمه یعنی نیمه راست لندهارک‌گذاری شد (Cardini et al., 2010). برای تجزیه و تحلیل داده‌ها لازم است لندهارک‌های تعیین‌شده در تمام نمونه‌ها یکسان باشد (Zelditch et al., 2004).

۱.۰۲. روش هندسی

بررسی دوریختی جنسی با استفاده از روش ریخت‌سنگی هندسی انجام شد. در این روش و به منظور استخراج داده‌های شکل، بر روی نماهای پشتی ۱۲ لندهارک و ۵ شبه لندهارک، در نمای شکمی ۱۱ لندهارک و ۲ شبه لندهارک و در نمای جانبی ۱۳ لندهارک و ۳ شبه لندهارک با استفاده از لندهارک‌های توصیف شده در گوشت‌خواران Loy et al., 2008; Milenkovic et al., 2010; Drake & Klingenberg, 2010; Figueirido et al., 2011 و TpsUtil ۱ و شکل ۲). ابتدا فایل تصاویر توسط برنامه

تصویرسازی شدند. برای آنالیز داده‌ها از نرم‌افزارهای PAST ver. 2.17 و MorphoJ ver. 1.05 شد (Hammer *et al.*, 2001; Tabatabaei, 2011; Ghanbari, 2013; Klingenberg, 2008). این گروه نرم‌افزارهای قدرتمندی برای تجزیه و تحلیل مجموعه از داده‌ها در روش ریخت‌سنگی هندسی هستند (Tabatabaei, 2011).

برای روی‌هم‌گذاری یا حذف داده‌های غیرشکل از آنالیز^۱ استفاده شد (Rohlf & Slice, 1990). داده‌های شکل دو جنس پس از آنالیز پرکراست، با استفاده از آنالیزهای چندمتغیره تشخیص تحلیلی DFA و Ttest Hotelling تحلیل شدند. تفاوت شکل دو جنس براساس میانگین شکل آن‌ها با استفاده از شبکه‌های تغییر شکل^۲



شکل ۲. موقعیت لندهارک‌ها بر روی جسمجه خرس قهوه‌ای در نماهای: پشتی (A)، شکمی (B) و جانبی (C)

جدول ۱. تعریف و شماره لندهارک‌ها در تجزیه و تحلیل ریختی °

نامی پشتی	تعریف	لندهارک
نقطه میانی پیش‌فكی در نوک پایین استخوان سپتم بین دندان‌های پیش فوقانی	۱	
نقطه روی دندان پیش سوم	۲	
تقاطع بین آرک زیگوماتیک و فک	۳	
بالاترین نقطه زانه پس حدقامی	۴	
نقطه میانی درز بین دو استخوان جوگال و اسکوآموزال	۵	
بالاترین نقطه خمیدگی داخلی آرک زیگوماتیک	۶	
ابتدای ترین نقطه محل اتصال اسکوآموزال به استخوان پیشانی	۷	
پایین ترین نقطه خمیدگی استخوان اسکوآموزال	۸	
پایین ترین نقطه محل تقاطع استخوان اسکوآموزال یا استخوان پاریتال	۹	
*امتداد خطی از لندهارک ۸ و ۹ تا جایی که لبه استخوان پاریتال را قطع کند	۱۰	
بالاترین نقطه استخوان پس سری	۱۱	
*خطی عمود از لندهارک ۹ بر محور میانی جمجمه تا لبه تیغه ساجیتال	۱۲	
*خطی عمود از لندهارک ۷ بر محور میانی جمجمه تا درز پیشانی	۱۳	
*خطی عمود از لندهارک ۴ بر محور میانی جمجمه تا درز پیشانی	۱۴	
*خطی عمود از لندهارک ۳ بر محور میانی جمجمه تا درز بینی	۱۵	
نقطه میانی درز بینی	۱۶	
پایین ترین نقطه درز سمت راست بینی	۱۷	

1. Generalized Procrustes Analysis
2. Thin Plate Spline

ادامه جدول ۱. تعریف و شماره لندها در تجزیه و تحلیل ریختی

نامی جانبی	نامی شکمی	لندها
تعریف		
لبه جلویی دندان نیش	ابتداي ترين نقطه محل اتصال دندان های پيش در قسمت پيش فکی	۱
لبه جلویی پيش آسيای چهارم	عقبی ترين نقطه دندان پيش سوم	۲
انتهایی ترین نقطه دندان آسيای دوم	لبه جلویی دندان پيش آسيای اول	۳
نقطه اوج استخوان پتریگوئید	انتهایی ترین نقطه دندان آسيای دوم	۴
نقطه اوج استخوان اسکوآمزال	نقطه اوج استخوان جوگال و اسکوآمزال	۵
بالاترین نقطه مجرای گوش بیرونی	نقطه اوج استخوان سوراخ جلوی حدقه ای	۶
داخلی ترین نقطه لبه استخوان پاریتال	نقطه اوج استخوان پاریتال	۷
بیرونی ترین نقطه لبه استخوان پاریتال	بیرونی ترين نقطه لبه استخوان پاریتال	۸
*خطی عمود از لندها ک ۶ بر محور میانی جمجمه تا لبه تیغه ساجیتال	بیرونی ترين نقطه لبه استخوان پاریتال	۹
*خطی عمود از لندها ک ۴ بر محور میانی جمجمه تا لبه استخوان پیشانی	امتداد خطی از لندها ک ۶ و ۱۲ تا لبه استخوان پیشانی	۱۰
بالاترین نقطه زائده پس حدقامی	ابتداي ترين نقطه سوراخ جلوی حدقه ای	۱۱
نقطه میانی درز بین دو استخوان جوگال و اسکوآمزال	انتهایی ترین نقطه سوراخ جلوی حدقه ای	۱۲
*امتداد خطی از لندها ک ۶ و ۱۲ تا لبه استخوان پیشانی	انتهایی ترین نقطه سوراخ جلوی حدقه ای	۱۳
ابتداي ترين نقطه سوراخ جلوی حدقامی	انتهایی ترین نقطه سوراخ جلوی حدقه ای	۱۴
انتهایی ترین نقطه درز استخوان بینی	پایین ترين نقطه سوراخ جلوی کامی	۱۵
انتهایی ترین نقطه درز استخوان بینی	پایین ترين نقطه سوراخ جلوی کامی	۱۶

* شبیه لندها

ضرایب $b_m=0/1131$ و $b_f=0/118$ است (شکل‌های ۳ و ۴ - نمودارهای A). در هر دو جنس رابطه رگرسیونی بین عرض جمجمه و طول آن معنادار است ($P<0.0001$). مقایسه الگوی رشد عرض جمجمه نسبت به طول نشان می‌دهد که در زمان بلوغ این بخش در نرها رشد کمتری داشته است حال آنکه در ماده‌ها طول و عرض جمجمه تقریباً به یک میزان افزایش می‌یابد. وقوع چنین فرایندی در جنس ماده به مرتبه زودتر و در سنین پایین‌تر به وقوع می‌پیوندد. الگوی رشد زائده‌های حدقة چشمی همسان روی

۳. نتایج

۱۰.۳. الگوی رشد آلومتری

الگوی رشد عرض جمجمه (پهناه آرک‌های زیگوماتیک همسان) در جنس‌های ماده و نر دوفازی با نقاط عطف بهترتب در طول‌های کل ۲۵۴ و ۳۶۴ میلی‌متری است. در فاز اول رشد در جنس ماده آلومتری منفی ($b=-0/638$) و در جنس نر ایزومتریک ($1/0893$) بود. در فاز دوم این روند در ماده ایزومتریک و در نر آلومتریک منفی بهترتب با

اول رشد در هر دو جنس آلومتری مثبت به ترتیب با ضرایب $b=1/1518$ و $b=1/5859$ است و در فاز دوم در هر دو جنس کاسته شده در ماده تقریباً ایزومتریک و در نر آلومتریک منفی به ترتیب با ضرایب $b_m=0/1858$ و $b_m=0/9178$ است (شکل‌های ۳ و ۴ - نمودارهای D). در هر دو جنس رابطه رگرسیونی معنادار است ($P<0/001$). مقایسه الگوی رشد پهنه‌ای حفره بینی نشان می‌دهد که در دوره بلوغ نسبت به طول جمجمه در هر دو جنس و با شدت بیشتر در نرها کاسته می‌شود.

الگوی رشد طول استخوان بینی^۴ در جنس ماده و نر دوفازی با نقاط عطف در طول کل ۲۶۳ میلی‌متری به دست آمد. در فاز اول رشد هر دو جنس دارای رشد آلومتری منفی و با ضریب مشابه $b=0/0602$ بود و در بلوغ در ماده آلومتریک مثبت و در نر آلومتریک منفی به ترتیب با ضرایب $b_m=0/76$ و $b_m=1/0367$ بود (شکل‌های ۳ و ۴ - نمودارهای E). در هر دو جنس رابطه رگرسیونی معنادار است ($P<0/001$). مقایسه الگوی رشد استخوان بینی نشان می‌دهد که در زمان بلوغ به نسبت طول کل جمجمه در نرها رشد کمتری داشته و حال آنکه در ماده‌ها این ویژگی میزان رشد بیشتری دارد. وقوع چنین فرایندی در هر دو جنس تقریباً مشابه و در سنین پایین به وقوع می‌پیوندد.

الگوی رشد طولی زائد استخوان جلوی بینی (پوزه) در جنس‌های ماده و نر دوفازی به ترتیب با نقاط عطف در طول‌های کل ۳۰۱ و ۲۶۸ میلی‌متری بود. در فاز اول رشد در جنس ماده آلومتری منفی ($0/6816$) و در جنس نر آلومتری مثبت ($1/5844$) بوده است که در فاز دوم در ماده آلومتری مثبت و در نر آلومتری منفی به ترتیب با ضرایب $b_m=1/121$ و $b_m=0/7689$ است (شکل‌های ۳ و ۴ - نمودارهای F). در جنس نر رابطه رگرسیونی معنادار بود ($P<0/001$) اما در جنس ماده این رابطه معنادار نشد ($P>0/001$). مقایسه الگوی رشد طولی پوزه نشان می‌دهد که در زمان بلوغ نسبت به طول جمجمه در نرها رشد کمتری دارد و در

پیشانی^۱ در جنس‌های ماده و نر دوفازی با نقاط عطف در طول‌های کل ۲۶۳ و ۳۳۸ میلی‌متری است. در فاز اول در جنس‌های ماده ($1/2683$) و نر ($1/0327$) رشد آلومتریک مثبت بود. در فاز دوم در ماده‌ها سرعت رشد کمتر و به صورت ایزومتریک شده و در نرها سرعت بیشتر می‌شود و به ترتیب ضرایب آن $b_m=1/7052$ و $b_m=0/9453$ به دست آمد (شکل‌های ۳ و ۴ - نمودارهای B). در هر دو جنس رابطه رگرسیونی معنادار بود ($P<0/001$). مقایسه الگوی رشد استخوان پیشانی^۲ که از زائده‌های حدقة چشمی روی پیشانی محاسبه می‌شود نشان می‌دهد که در زمان بلوغ نسبت به طول جمجمه در نرها رشد بسیار زیادی داشته حال آنکه در ماده‌ها تقریباً به یک میزان با طول جمجمه رشد می‌کند. وقوع چنین فرایندی نیز در جنس ماده به مراتب زودتر و در سنین پایین تر به وقوع می‌پیوندد.

الگوی رشد جمجمه در فاصله زائده‌های چشمی روی آرک‌های زیگوماتیک همسان^۳ در جنس‌های ماده و نر دوفازی با نقاط عطف به ترتیب در طول‌های کل ۲۷۹ و ۳۳۱ میلی‌متری است. در فاز اول رشد در جنس ماده تقریباً ایزومتریک ($0/9394$) و در جنس نر آلومتریک مثبت ($1/1116$) بود. در فاز دوم در جنس ماده آلومتریک منفی و در جنس نر مثبت به ترتیب با ضرایب $b_m=1/1784$ و $b_m=0/8608$ است (شکل‌های ۳ و ۴ - نمودارهای C). در هر دو جنس رابطه رگرسیونی معنادار است ($P<0/001$). مقایسه الگوی رشد فاصله زائده‌های چشمی روی آرک‌های زیگوماتیک همسان نشان می‌دهد که در زمان بلوغ نسبت به طول کل جمجمه در نرها، رشد به مراتب بیشتری از ماده‌ها دارد. وقوع چنین فرایندی در جنس ماده به مراتب زودتر و در سنین پایین تر به وقوع می‌پیوندد.

الگوی رشد پهنه‌ای حفره بینی در جنس‌های ماده و نر دوفازی با نقاط عطف به ترتیب در طول‌های کل ۳۰۴ و ۳۶۲ میلی‌متری بود. در فاز

نابالغی به وقوع می‌پیوندد و الگوی رشد بین دو نقطه عطف در جنس‌ها متفاوت‌اند. براساس جدول ۲ به نظر می‌رسد تغییرات ویژگی‌های یادشده منطبق بر تغییر گونه از نابالغ به بالغ است.

۲.۰.۳ دوریختی جنسی

۱.۰.۳. نمای پشتی

آنالیز DFA/Hotelling تفاوت معناداری بین شکل نمای پشتی جمجمه جنس‌های نر و ماده خرس قهوه‌ای نشان داد ($P=0.340$). نتایج مصورسازی در شبکه تغییر شکل (مقایسه شکل‌های اجماع نمای پشتی جمجمه جنس‌های نر و ماده) نشان داد که تفاوت عمده بین این دو جنس مربوط به قسمت استخوان‌های پس‌سری و آرک زیگوماتیک است (شکل ۵). استخوان پس سری در نرها نسبت به ماده‌ها بزرگ‌تر است (مربوط به جایه‌جایی لندرمارک‌های ۱۰ تا ۱۲ به بیرون) و همچنین در جنس نر بخش آرک زیگوماتیک بیشتر به بیرون امتداد یافته و بزرگ‌تر از جنس ماده است (جایه‌جایی قدامی لندرمارک‌های ۳ تا ۸). ازین‌رو کشیدگی قسمت جلوی فک بالا در جنس ماده نسبت به نرها بیشتر و حجم کلی فک بالا در قسمت آرواهه^۱ ماده‌ها بلندتر از نرهاست.

۲.۰.۳. نمای جانبی

آنالیز DFA/Hotelling تفاوت معناداری را در شکل نمای جانبی جمجمه بین جنس‌های نر و ماده نشان داد ($P=0.150$). مقایسه شکل اجماع نمای جانبی جمجمه جنس‌های نر و ماده مشخص کرد که قسمت استخوان آهیانه^۲ و قسمت تیغه در جنس نر بزرگ‌تر است (جایه‌جایی لندرمارک‌های ۳ تا ۱۰ به سمت بیرون). علاوه بر این در جنس نر، ناحیه پیشانی بزرگ‌تر از ماده‌های است (جایه‌جایی لندرمارک‌های شماره ۱۰ و ۱۱ به سمت بیرون و ۱۲ به سمت داخل) (شکل ۶). مقایسه شکل ناحیه پوزه فوقانی در شبکه تغییر شکل، نمایانگر طول بیشتر آن در جنس ماده است.

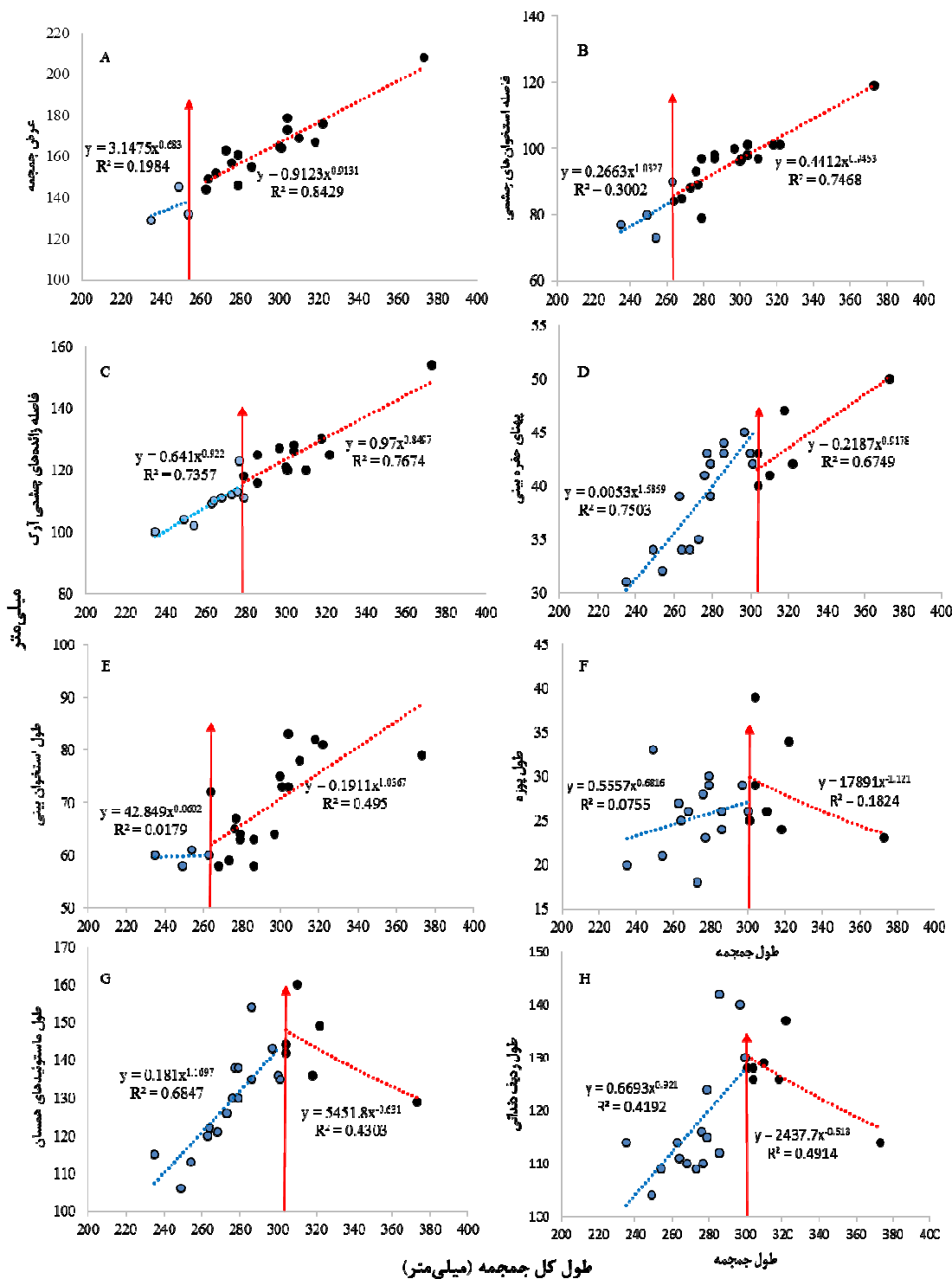
ماده‌ها طول پوزه نسبت به طول جمجمه میزان رشد بیشتری می‌یابد. رشد این اندام در افراد مختلف بسیار نامتقارن است و چندرباختی (پلی‌مورفیزم) دیده می‌شود.

الگوی رشد عرضی ماستوئیدهای همسان در جنس‌های ماده و نر دوفازی با نقاط عطف بهترتب در طول‌های کل ۳۰۴ و ۳۲۷ میلی‌متری است. در فاز اول رشد در هر دو جنس آلومتری مثبت و بهترتب با ضرایب $b=1/1984$ و $b=1/1697$ بود که در فاز دوم در ماده آلومتری منفی و در نر به رشد آلومتری مثبت خود بهترتب با ضرایب $b_m=1/655$ و $b_m=1/631$ بدل می‌شود (شکل‌های ۳ و ۴ نمودارهای G). در هر دو جنس رابطه رگرسیونی معنادار است ($P<0.001$). مقایسه الگوی رشد عرضی ماستوئیدهای همسان نشان می‌دهد که افزایش عرض نسبت به طول در نرها با نسبت بیشتر و در ماده‌ها به نسبت نصف افزایش رشد دارند. افزایش اندازه ماستوئید در افراد نر بالغ اهمیت زیادی دارد.

الگوی رشد طول ردیف دندانی در جنس ماده و نر دوفازی با نقاط عطف در طول‌های کل ۳۰۱ و ۲۷۳ میلی‌متری بود. در فاز اول رشد در جنس ماده تقریباً ایزومتریک ($P=0.921$) و در جنس نر آلومتری منفی ($P=0.12$) بود که در فاز دوم در هر دو جنس آلومتریک منفی با ضرایب $b_m=0/8767$ و $b_m=0/513$ می‌شود (شکل‌های ۳ و ۴ - نمودارهای H). در هر دو جنس رابطه رگرسیونی معنادار است ($P<0.001$). مقایسه الگوی رشد طول ردیف دندانی نسبت به طول جمجمه از فاز اول به دوره بلوغ نشان می‌دهد که رشد ردیف دندانی در نرها با وجود آلومتری منفی بودن نسبت، رشد بالایی دارد. در ماده‌ها این نسبت رشد کاهش می‌یابد. وقوع چنین فرایندی در جنس نر به مراتب زودتر و در سنین پایین‌تر به وقوع می‌پیوندد (شکل‌های ۳ و ۴).

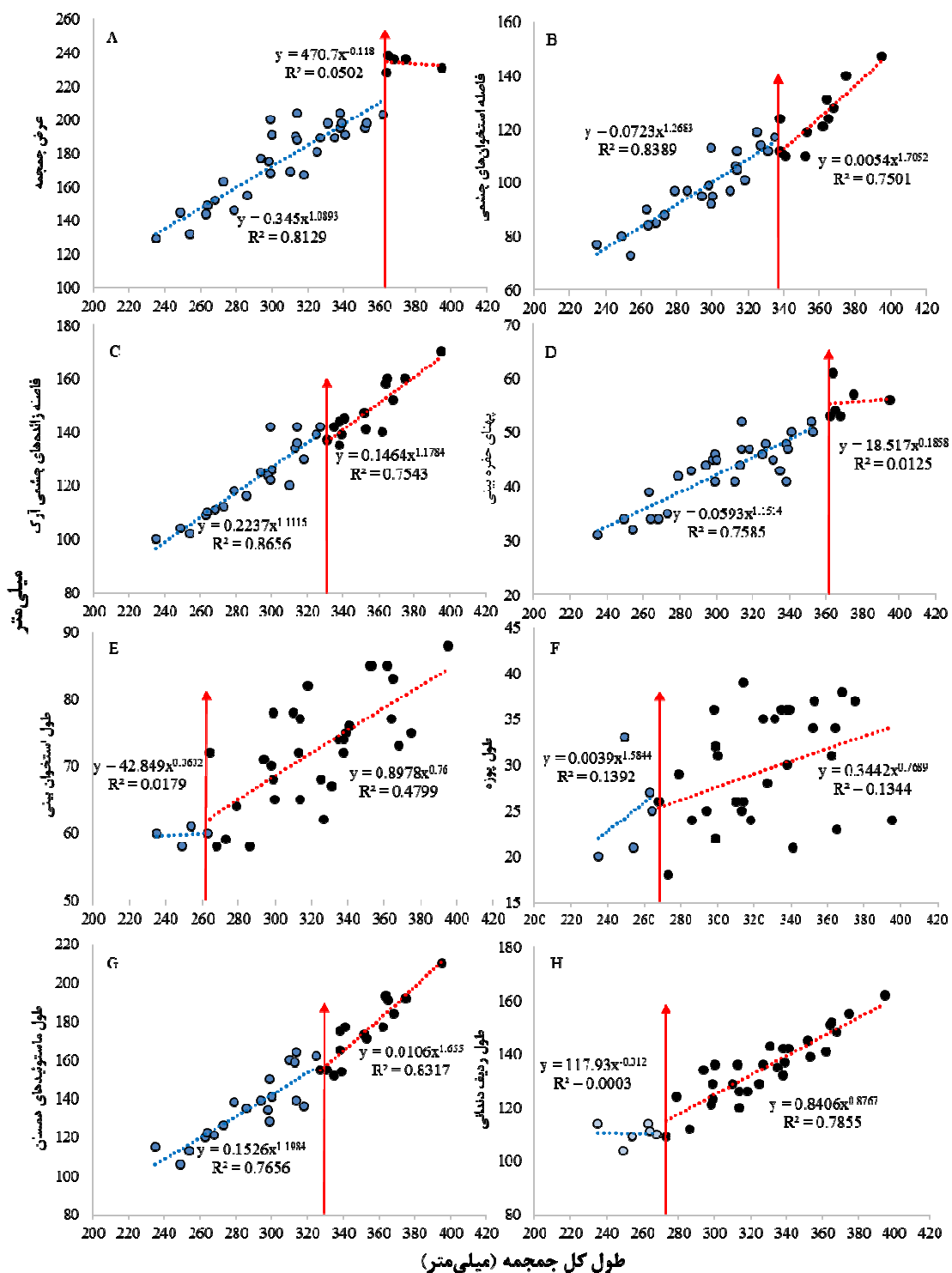
علاوه بر مقایسه الگوی رشد در قبل و بعد از نقطه عطف، الگوی رشد در زمان بلوغ و پیش از بلوغ نیز مقایسه شد (جدول ۲). همان‌گونه که در این جدول نشان داده شده است، تغییرات پوزه، استخوان بینی و الگوهای ردیف دندانی در زمان

1. maxillary
2. Parietal bone



شکل ۳. الگوهای رشد آلومتری در جمجمه جنس ماده

خطوط عمودی بیانگر نقطه عطف هر ویژگی طی فرایند رشد است. تمامی نمونه‌ها بدون تفکیک دو گروه بالغ و نابالغ تجزیه و تحلیل شدند تا در آزمون، الگوی رشد جنس به نمایش گذاشته شود.



شکل ۴. الگوهای رشد آلومتری در جمجمه جنس نر

خطوط عمودی بیانگر نقطه عطف هر ویژگی طی فرایند رشد است. تمامی نمونه‌ها بدون تفکیک دو گروه بالغ و نابالغ تجزیه و تحلیل شدند تا طی آزمون، الگوی رشد جنس به نمایش گذاشته شود.

جدول ۲. ضرایب رشد براساس درصد شیب (b)، عرض از مبدأ (a)، مقادیر متغیر (r^2)

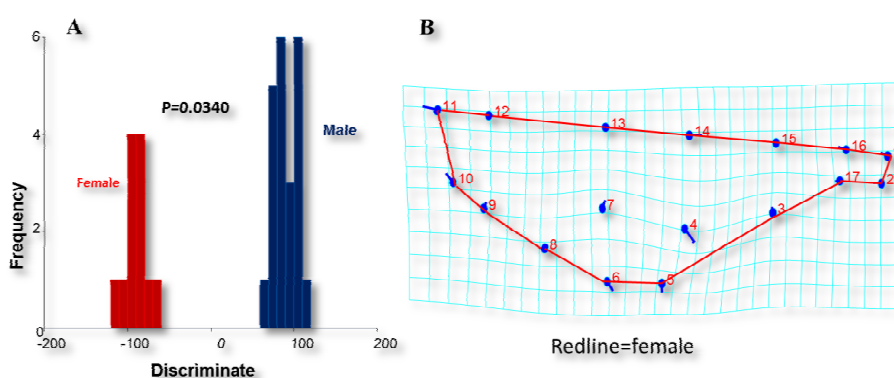
نمودار	نابالغ	بالغ	بالغ ± نابالغ	بالغ	r^2	ip	p
	a	b					
A ماده-نابالغ	۳/۱۴۷۵	۰/۹۱۲۳	۰/۶۸۳ ± ۰/۹۱۳۱	۰/۱۹۸۴	۰/۸۴۲۹	۲۵۴	***
نر-نابالغ	۰/۳۴۵	۴۷۰/۷	۱/۰۸۹۳ ± ۰/۱۱۸	۰/۸۱۲۹	۰/۵۰۲	۳۶۴	***
B ماده-نابالغ	۰/۲۶۶۳	۰/۴۴۱۲	۱/۰۳۲۷ ± ۰/۹۴۵۳	۰/۳۰۰۲	۰/۷۴۶۸	۲۶۳	***
نر-نابالغ	۰/۰۷۲۳	۰/۰۰۰۵۴	۱/۲۶۸۳ ± ۱/۷۰۵۲	۰/۸۳۸۹	۰/۷۵۰۱	۳۳۸	***
C ماده-نابالغ	۰/۵۸۱۹	۰/۹۰۹۳	۰/۹۳۹۴ ± ۰/۸۶۰۸	۰/۸۹۵۹	۰/۷۴۹۶	۲۷۹	***
نر-نابالغ	۰/۲۲۳۷	۰/۱۴۶۴	۱/۱۱۱۶ ± ۱/۱۷۸۴	۰/۸۶۵۶	۰/۷۵۴۳	۳۳۱	***
D ماده-نابالغ	۰/۰۰۵۳	۰/۲۱۸۷	۱/۵۸۵۹ ± ۰/۹۱۷۸	۰/۷۵۰۳	۰/۶۷۴۹	۳۰۴	***
نر-نابالغ	۰/۰۵۹۳	۱۸/۵۱۷	۱/۱۵۱۴ ± ۰/۱۸۵۸	۰/۷۵۸۵	۰/۰۱۲۵	۳۶۲	***
E ماده-نابالغ	۴۲/۸۴۹	۰/۱۹۱۱	۰/۰۶۰۲ ± ۱/۰۳۶۷	۰/۰۱۷۹	۰/۴۹۵	۲۶۳	***
نر-نابالغ	۴۲/۸۴۹	۰/۸۹۷	۰/۰۶۰۲ ± ۰/۷۶	۰/۰۱۷۹	۰/۴۷۹۹	۲۶۳	***
F ماده-نابالغ	۰/۵۵۵۷	۱۷۸۹۱	۰/۶۸۱۶ ± ۱/۱۲۱	۰/۰۷۵۵	۰/۱۸۲۴	۳۰۱	NS
نر-نابالغ	۰/۰۰۳۹	۰/۳۴۴۲	۱/۵۸۴۴ ± ۰/۷۶۸۹	۰/۱۳۹۲	۰/۱۳۴۴	۲۶۸	**
G ماده-نابالغ	۰/۱۸۱	۵۴۵۱/۸	۱/۱۶۹۷ ± ۰/۶۳۱	۰/۶۸۴۷	۰/۴۳۰۳	۳۰۴	**
نر-نابالغ	۰/۱۵۲۶	۰/۰۱۰۶	۱/۱۹۸۴ ± ۱/۶۵۵	۰/۷۶۵۶	۰/۸۳۱۷	۳۲۷	***
H ماده-نابالغ	۰/۶۶۹۳	۲۴۳۷/۷	۰/۹۲۱ ± ۰/۵۱۳	۰/۴۹۲	۰/۴۹۱۴	۳۰۱	**
نر-نابالغ	۱۱۷/۹۳	۰/۸۴۰۶	-۰/۰۱۲ ± ۰/۸۷۶۷	۰/۰۰۰۳	۰/۷۸۵۵	۲۷۳	***

NS: آن معنی (P>0.05) ***: P<0.001 **: P<0.01 ***: P<0.05

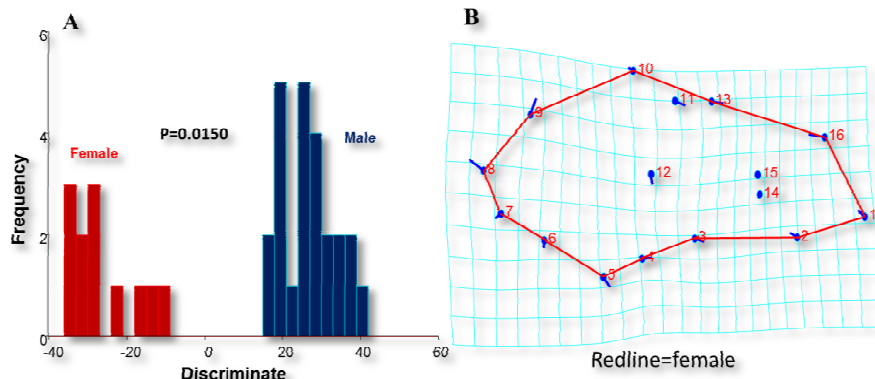
پس سری) و ۹ (پایین‌ترین نقطه کندیل استخوان پس سری) است. جابه‌جایی بیرونی امتداد لندهمارک‌های ناحیه آرک زیگوماتیک (لندهمارک‌های ۴، ۵ و ۶) نشان‌دهنده بزرگی این بخش در نر است. درنهایت جابه‌جایی خلفی لندهمارک‌های ۷، ۸ و ۹ مربوط به بخش ساجیتال (مشابه نماهای پشتی و جانبی) نشان‌دهنده بزرگی آن در نر است (شکل ۷).

۳.۲.۳. نمای شکمی

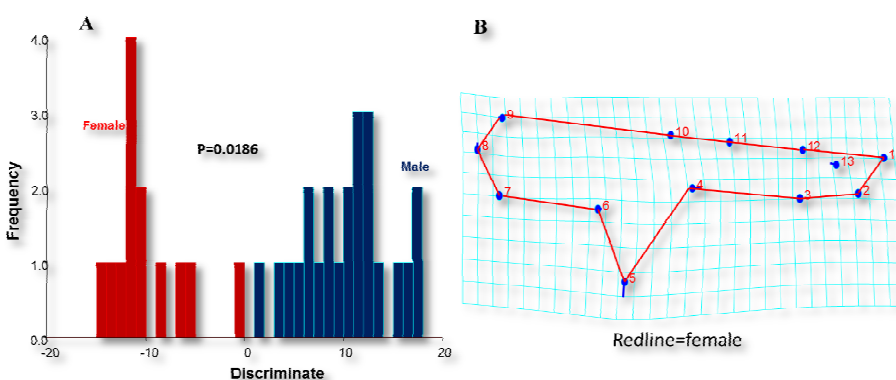
آنالیز DFA/Hotelling تفاوت معناداری را در شکل نمای شکمی جمجمه بین جنس‌های نر و ماده نشان داد ($P=0.0210$). نتایج مقایسه شکل اجمع دو جنس نر و ماده نشان داد که در جنس نر استخوان کندیل نسبت به ماده بزرگ‌تر است که مربوط به جابه‌جایی پشتی لندهمارک‌های شماره ۸ (بالاترین نقطه کندیل استخوان



شکل ۵. آنالیز DFA و اختلافهای نمای پشتی جمجمه نر و ماده در شبکه تغییر شکل



شکل ۶. آنالیز DFA و اختلاف‌های نمای جانبی بین جمجمه نر و ماد در شبکه تغییر شکل



شکل ۷. آنالیز DFA و اختلاف‌های نمای شکمی بین جمجمه نر و ماده در شبکه تغییر شکل

حدود چهارسالگی اما برای نرها دیرتر از آن است. در اغلب پستانداران زمان توقف رشد جمجمه هم‌زمان با بلوغ کامل و توقف رشد سایر اندام‌هاست (Brody, 1964; Andersen & Wiig, 1984; Ochoa & Nanda, 2004; Bechshoft *et al.*, 2008) که براساس نتایج این پژوهش، در خرس‌های قهوه‌ای این‌گونه نبود. با وجود تغییرات ظاهری شکل جمجمه در طول رشد بهویژه در نرها تا کنون هیچ‌گونه گزارشی از اختلاف‌های ژنتیکی منتج از آن در دو جنس نر و ماده خرس قهوه‌ای ارائه نشده است.

نتایج الگوی رشد جمجمه در قسمت آرک‌های زیگوماتیک نشان داد در نرها بیش از ماده‌ها و ماده‌ها بیشتر از نابالغ‌هاست. اندازه و شکل آرک‌های زیگوماتیک منتج از اندازه و شکل ناحیه گیجگاهی^۱ است. این بدان معناست که برای

۴. بحث و نتیجه‌گیری

۴.۱. الگوی رشد آلمتری

با توجه به نتایج به دست‌آمده، رشد جمجمه در تمامی ویژگی‌های بررسی شده دو فاز دارد که در فاز اول به صورت آلمتریک مثبت و ایزومنتریک است و تا سن مشخصی در پیش از بلوغ اختلافی در رشد دو جنس وجود ندارد. در فاز دوم رشد یا به عبارت دیگر در دوره بلوغ، تغییرات جمجمه متوقف نمی‌شود و با افزایش سن همچنان ادامه می‌یابد و الگوی تغییرات جمجمه در ماده‌ها تقریباً مشابه نابالغ‌هاست ولی در جنس نر الگوی رشد متفاوتی در بخش‌های آرک زیگوماتیک، پیشانی، زائده‌های چشمی، طول پوزه، طول ماستوئیدها و ردیف دندانی شکل می‌گیرد. براساس مطالعات Ohdachi و همکاران (۱۹۹۲) این سن مشخص که احتمالاً متقاضی با بلوغ آن‌هاست برای ماده‌ها

1. Temporal

انتخاب می‌کنند که محدوده زادآوری ماده‌ها^۴ خوانده می‌شود و از آنجاکه بینایی ضعیفی دارند به بوبایی خود وابسته‌اند.

براساس نتایج بدست‌آمده الگوی رشد طول ردیف دندانی در ماده‌ها (با نسبت زیاد) و نرها (با نسبت کم) آلومتریک منفی است. این آلومتری منفی احتمالاً در هر دو جنس، به‌دلیل مزیت مکانیکی (برتری قدرت به سرعت) و نزدیکی دندان گوشت‌بر به آواره بوده است. انتقال قدرت ماهیچه‌های جونده در فک‌ها به دندان‌های آسیای نزدیک آواره بهتر صورت گرفته و قدرت بیشتری منتقل می‌شود. ساختار ردیف دندانی نیز این امر را تأیید می‌کند و دندان آسیای بزرگ که به مفصل آواره نزدیک‌تر است، بزرگ‌تر از دندان‌های پیشین است. براساس Hattori و همکاران (۲۰۰۳) در شنگ‌های دریایی^۵ نیز با افزایش سن طول ردیف دندانی کاهش می‌یابد.

همان‌گونه که نتایج نشان می‌دهند بیشترین تفاوت‌های نر از ماده مربوط به تغییرات فاز دوم رشد است. جمجمه جنس نر تمایل به بزرگ‌تر و مقاوم‌تر شدن برای رقابت درون جنسی به نسبت جنس ماده را دارد. نزاع مستقیم نرها در فصل جفت‌گیری بسیار شدید است و نرهای بزرگ‌تر موفقیت به مراتب بیشتری در جفت‌گیری با ماده‌ها دارند (Pulliainen *et al.*, 1984; Cordy, 1972; TorresPérez-Hidalgo, 1988). درمجموع جمجمه جنس ماده اغلب تمایل به همگن‌شدن، باریک، بلند و ظریفتر شدن و شبیه به جمجمه نابالغ‌ها را دارد. تغییرات جعبه مغز از حالت کروی در نابالغ به سمت مکعبی‌شدن در بالغ‌هاست. ساختارهای پوزه و استخوان شکننده جلوی بینی نرها که در جنگ‌ها احتمال آسیب‌دیدن را بالا می‌برند در مقابل افزایش طول جمجمه رشد کمتری دارند. فرم بزرگ‌تر آرک‌های زیگوماتیک، ناحیه پس سر^۶ و همچنین ساجیتال گویای اتصال

حمایت از آرک‌های زیگوماتیک قوی، نیازمند افزایش اندازه ناحیه گیجگاه نیز است (Grandal- d'Anglade & Lopez-Gonzalez, 2005). رشد ماستوئیدها در جنس نر همواره آلومتریک مثبت بود. احتمالاً این افزایش اندازه ماستوئیدها در راستای افزایش اندازه استخوان پاریتال، ساجیتال و گیجگاهی است. درمجموع می‌توان گفت که تغییر ساختار یک بخش در جنس نر، تغییر ساختار کل جمجمه و افزایش حجم را در پی دارد. براساس نتایج الگوی رشد آلومتریک مثبت زائدۀ چشمی روی آرک و بالای حدقه‌ای در نرها که تقویت پیشانی را در پی دارد بسیار قابل توجه است. این وضعیت در گونه‌های دیگر خرس و حتی پستانداران دیگر نیز دیده می‌شود (Werdelin & Solounias, 1991; Joeckel, 1998; Grandal- d'Anglade & Lopez-Gonzalez, 2005).

پیشانی بزرگ علاوه بر ساختار استحکامی و حفاظتی، اندازه بزرگ سینوس را نیز موجب می‌شود. ساختار سینوس بزرگ در جنس نر در این گونه مبهم است (رجوع شود به Witmer, 1997). یکی از دلایل آن احتمالاً به حس بوبایی خرس‌ها مربوط است. در نرها استخوان پیشانی همواره رشد آلومتریک مثبت خود را حفظ کرده است و با افزایش عمر از میزان آن کاسته نمی‌شود. این امر به حفاظت از مغز در هنگام نزاع نر با نر کمک می‌کند (Ohdachi *et al.*, 1992). چنین نسبتی در خرس سیاه آمریکایی^۱ و خرس سیاه آسیایی^۲ نیز دیده شده است (Rausch, 1961; Mukasa, 1934; Mukasa, 1934; Suenaga, 1972).

همان‌طور که نتایج نشان داد الگوی رشد پهنه‌ای حفره بینی (نه طول استخوان بینی) در ماده‌ها و نابالغ‌ها تقریباً مشابه و متفاوت از نرهاست که می‌تواند به بوم‌شناسی زادآوری ماده‌ها در حفاظت از توله‌ها برگردد. براساس Nezami (۲۰۱۰) ماده‌ها در فصل زادآوری در اجتناب از توله‌کشی نرها^۳، امن‌ترین بخش‌های زیستگاهی را

4. Female Core Area

5. Enhydra lutris

6. occipital

1. Ursus americanus

2. Ursus thibetanus

3. Infanticide

al., 2008; Grandal-d'Anglade & López-González, 2005

نرها به دلیل دوریختی جنسی در اندازه فیزیکی بزرگ‌تر توانایی آن را دارند که در مقابل ماده‌ها به Radloff طعمه‌های بزرگ‌تری رجوع کنند (& Toit, 2004). البته این به همیچوجه بدن معنا نیست که طعمه‌خوار بزرگ‌تر در مقابل طعمه‌خوار کوچک‌تر یعنی تنها طعمه بزرگ‌تر را شکار می‌کند، بلکه طعمه‌خوار بزرگ‌تر این توانایی را دارد که طیف گسترده‌ای از طعمه‌های با اندازه‌های مختلف را شکار کند (Radloff & Toit, 2004; Scharf et al., 2000; Christiansen & Harris, 2012). قدرت آرواره‌های بیشتر یک سازگاری مهم در بوم‌شناسی گونه در تغذیه از طعمه‌های بزرگ است (Meers, 2002; Christiansen & Wroe, 2007; Christiansen & Harris, 2012 براساس نتایج، در جنس نر ناحیه آرک زیگوماتیک از لحاظ طول و ارتفاع نسبت به ماده‌ها بزرگ‌تر است که این می‌تواند به اندازه ماهیچه‌های تمپورالیس و جونده^۳ در آن‌ها مرتبط باشد. آرک زیگوماتیک منشأ و حمایت‌کننده ماهیچه‌های تمپورالیس و جونده است و سبب تقویت آن‌ها می‌شود (Naples & Macafee, 2012; Anglade & González, 2005 بالغ وجود ماهیچه‌های تمپورالیس و جونده بزرگ‌تر و قوی‌تر طبیعی است چراکه افزایش اندازه آرک زیگوماتیک سبب افزایش اندازه این ماهیچه‌ها و درنتیجه بالابردن توانایی آن‌ها در حرکت آرواره به سمت جلو و عقب می‌شود (Naples & MacAfee, 2012). در ضمن آرک زیگوماتیک بزرگ‌تر می‌تواند فضای بیشتری را برای زائده کرونوبید فک زیرین فراهم آورد (Liem et al., 2000; Ghanbari et al., 2013) دوریختی جنسی ممکن است حتی به زندگی اجتماعی خرس‌ها نیز مربوط باشد. بنابراین، دوریختی جنسی در این گونه می‌تواند وابسته به جنس و رقابت بین جنس‌ها نیز باشد. زیرا

ماهیچه‌های قوی‌تر است. در مقابل، اندام‌هایی که از نیازهای اولیه بقاگونه در زمان بلوغ هستند مانند طول استخوان بینی، در هر دو جنس توسعه زیادی یافته‌اند. افزایش طول استخوان بینی نشان‌دهنده نیاز گونه به حس بویایی است. براساس Nezami (۲۰۱۳) خرس‌ها در غذایابی و اجتناب از خطر به حس بویایی وابستگی زیادی دارند.

۴.۲. دوریختی جنسی

نتایج این پژوهش نشان داد که تفاوت معناداری در جمجمه دو جنس نر و ماده در هر سه نمای پشتی، جانبی و شکمی وجود دارد. پژوهش حاضر بر روی دو شکلی جنسی خرس قهوه‌ای در طبیعت، اولین پژوهش از نوع خود است که همزمان با دو روش ریخت‌سنگی سنتی و هندسی نتایج را مقایسه و بر هم صحه می‌گذارد. از دیگر مزایای این پژوهش قابلیت نمایش‌دادن تغییرات به صورت تصویری در شبکه تغییر شکل است که درک آن را آسان می‌کند.

تا کنون Peng و همکاران (۲۰۰۱) توانستند دوریختی جنسی به روش سنتی را در خرس پاندا^۱ نشان دهند. Mahoney و همکاران (۲۰۰۱) و Miller و همکاران (۲۰۰۹) دوریختی جنسی و رشد اندام‌ها به روش سنتی و هندسی در خرس سیاه امریکایی (*Ursus americanus*) را گزارش کردند. Derocher و همکاران (۲۰۰۵) نیز به روش سنتی وجود دوریختی جنسی در خرس قطبی^۲ را یافتند. Pulliainen و همکاران (۱۹۸۴) و Ohdachi و همکاران (۱۹۹۲) دوریختی جنسی در خرس‌های قهوه‌ای را با استفاده از روش سنتی گزارش کردند و دلیل آن را رقابت نر-نر در فصل جفت‌گیری می‌دانند. Badyaev (۲۰۰۲) شرایط محیطی را عمدت‌ترین دلیل دوریختی جنسی می‌داند. در هر حال دوریختی جنسی مهم‌ترین تأثیر را در اندازه و شکل جمجمه‌ها دارد (Loy et al., 2013).

1. *Ailuropoda melanoleuca*
2. *Ursus maritimus*

به دست آمده و مقایسه شکل و اندازه بخش‌های مختلف دوجنس گویای تقویت و استحکام بیشتر بخش‌های مختلف جمجمه در جنس نر است. با وجودی که گاه برخی از اندام‌ها نسبت رشد بیشتری در ماده‌ها دارند اما به طور قابل ملاحظه‌ای نرها بزرگ‌تر از ماده‌ها هستند. درنهایت باید گفت که دوریختی جنسی به‌ویژه به لحاظ اندازه جمجمه در خرس‌های جوان پذیرفته نیست چراکه تشخیص جمجمة نرها و ماده‌های جوان از هم به سادگی میسر نیست. به گفته Derocher و همکاران (۲۰۰۵) با افزایش سن است که دوریختی جنسی نمایان می‌شود.

تفاوت‌های دوجنس در بخش‌های استخوان پس‌سری و آرک زیگوماتیک که ماهیچه‌های قوی‌تری را پشتیبانی می‌کنند وجود دارد (Loy *et al.*, 2008).

اندازه طول استخوان بینی در خرس‌ها نمایان‌گر قدرت بوبیایی در آن‌ها نیز است. قدرت بوبیایی برای بزرگ‌ترین گوشت‌خوار خشکی که از بینایی بسیار ضعیفی برخوردار است اهمیت زیادی دارد (Nezami, 2008). مقایسه این اندام در دو جنس نمایان‌گر طول بیشتر در جنس ماده است. در مجموع جمجمة نرها به لحاظ اندازه در تمام بخش‌ها به مراتب بزرگ‌تر از ماده‌های است. عوامل ایجاد تغییرات می‌توانند متفاوت باشند. نتایج

REFERENCES

- Adams, D.C., Rohlf, F.J., Slice, D.E. 2004. Geometric Morphometric: Ten years of progress following the 'Revolution'. *Italian Journal of Zoology*, 71: 5-16.
- Andersen, T., Wiig, Ø., 1984. Growth in the Skull of Norwegian Lynx, *Acta Theriol* 29:89–110.
- Anglade, G., González, F., 2005. On factors that influence the morphology of the cave bear dentition and a study of the geographical variation in the lower carnassial. *Mitteilungen der Kommission für Quartärforschung der Österreichischen Akademie der Wissenschaften Wien* 14:41–52.
- Badyaev, A.V., 2002. Growing apart: an ontogenetic perspective on the evolution of sexual dimorphism. *Trends in Ecology and Evolution*, 17:369–378.
- Bechshoft, T., Sonne, C., Riget, F., Wiig, Ø., Dietz, R., 2008. Differences in growth, size and sexual dimorphism in skulls of East Greenland and Svalbard polar bears (*Ursus maritimus*). *Polar Biology*, 31: 945–958.
- Brody, S., 1964. Bioenergetics and growth. Hafner Publishing Company, New York.
- Cardini, A., Diniz Filho, J.A.F., Polly, P.D., Elton, S., 2010. Biogeographic analysis using geometric morphometric: clines in skull size and shape in a widespread African arboreal monkey. A.M.T. Elewa (Ed.), *Morphometrics for Nonmorphometrists, Lecture Notes in Earth Sciences* 124, Springer-Verlag Publishers, Heidelberg, Germany.
- Caumul, R., Polly, P.D., 2005. Phylogenetic and environmental components of morphological variation: skull, mandible, and molar shape in marmots (*Marmota*, Rodentia). *Evolution*, 59: 2460-2472.
- Chestin, I.E., Mikeshina, N.G., 1998. Variation in skull morphology of brown bear (*Ursus arctos*) from Caucasus, *Journal of Mammalogy*, 79(1):118-130.
- Christiansen, P., Harris, J., 2012. Variation in Craniomandibular Morphology and Sexual Dimorphism in Pantherines and the Sabercat *Smilodon fatalis*, October 2012, Volume 7, Issue 10, e48352.
- Christiansen, P., Wroe, S.M., 2007. Bite forces and evolutionary adaptations to feeding ecology in carnivores. *Ecology* 88: 347–358.
- Cordeiro-Estrela, P., Baylac, M., Denys, C., Polop, J., 2008. Combining geometric morphometrics and pattern recognition to identify interspecific patterns of skull variation: case study in sympatric Argentinian species of the genus *Calomys* (Rodentia: Cricetidae: Sigmodontinae).

- Biological Journal of the Linnean Society 94: 365-378.
13. Cordy, J.M., 1972. Étude de la variabilité des crânes d'ours des cavernes de la collection Schmerling. Annales de Paléontologie (Vertébrés) 58, 151–207.
 14. Derocher, A.E., Andersen, M., Wiig, O., 2005. Sexual dimorphism of polar bear. Journal of Mammalogy, 86(5):895–901.
 15. Drake, A.G., Klingenberg, G.P., 2010. Large-Scale Diversification of Skull Shape in Domestic Dogs: Disparity and Modularity. The American Naturalist. 175(3):289-301.
 16. Etemad, E., 1985. Mammals of Iran, Department of Environment. (in Persian).
 17. Figueirido, B., Palmqvist, P., Pérez-laros, J.A., Dong, W., 2011. Cranial shape transformation in the evolution of the giant panda (*Ailuropoda melanoleuca*). Naturwissenschaften. 98:107–116.
 18. Fuiman, L.A., 1983. Growth gradients in fish larvae. J. Fish Biology. 23, 117–123.
 19. Ghanbari, F., 2013. Sexual dimorphism in skull morphology of the Brown Bear (*Ursus arctos* Linnaeus, 1758) in Iran using geometric morphometric approach. MSc Thesis. University of Tehran, Iran, 90 p (In Persian).
 20. Ghanbari, F., Kaboli, M., Eagdari, S., Nezami, B., 2013. Sexual dimorphism in skull morphology of the Brown Bear (*Ursus arctos* Linnaeus, 1758) in Iran using geometric morphometric approach. Taxonomy and Biosystematic, 1392-Autmn, In Press. (In Persian).
 21. Gisbert, E., 1999. Early development and allometric growth patterns in Siberian sturgeon and their ecological significance. Journal of Fish Biology, 54:852–862.
 22. Grandal-d'Anglade, A., López-González, F., 2005. Sexual dimorphism and ontogenetic variation in the skull of the cave bear (*Ursus spelaeus* Rosenmüller) of the European Upper Pleistocene. Geobios, 38: 325–337.
 23. Gutleb, B., Ziaie, H., 1999. On the distribution and status of the brown bear Ursus arctos and the Asiatic black bear *U. thibetanus* in Iran. Zoology in the Middle East. 18: 5–8.
 24. Hammer, Ø., Harper, D.A.T., Ryan, P.D., 2001. PAST: Paleontological Statistics Software Package for Education and Data Analysis. Palaeontologia Electronica, 4: 1.
 25. Hattori, K., Burdin, A.M., Suzuki, M., Ohtaishi, N., 2003. Age-Related Change and Allometry of Skull and Canine of Sea Otter, *Enhydra lutris*. Journal of Veterinarian Med Science. 65(4): 439-447.
 26. Joeckel, R.M., 1998. Unique frontal sinuses in fossil and living Hyaenidae (Mammalia, Carnivora): description and interpretation. Journal of Vertebrate Paleontology 18: 627–639.
 27. Klingenberg, C.P. 2008. MorphoJ. Faculty of Life Sciences, University of Manchester, UK.
 28. Available at <http://www.flywings.org.uk/MorphoJ-page.htm>
 29. Klingenberg, C.P., Barluenga, M., Meyer, A., 2003. Body shape variation in cichlid fishes of the *Amphilophus citrinellus* species complex. Biological Journal of the Linnean Society 80:397–408.
 30. Koumoundouros, G., Divanach, P., Kentouri, M., 1999. Ontogeny and allometric plasticity of *Dentex dentex* in rearing conditions. Marine Biology, 135:561–572.
 31. Lay, D.M., 1967. A study of the mammals of Iran, Fieldiana Zoology, 237 Vol.54., Field Museum of Natural History, Chicago, p.220.
 32. Liem, K., Bemis, W., Walker, W.F., Grande, L., 2000. Functional Anatomy of the Vertebrates: An Evolutionary Perspective. 3rd edition. Brooks Cole, pp. 232-350.
 33. Loy, A., Genov, P., Galfo, M., Jacobone, M.G., Vigna Taglianti, A., 2008. Cranial morphometrics of the Apennine brown bear (*Ursus arctos marsicanus*) and preliminary notes on the relationships with other southern European populations. Italian Journal of Zoology, March; 75(1): 67–75.
 34. Mahoney, S.P., Virgl, J.A., Mawhinney, K., 2001. Potential mechanisms of phenotypic divergence in body size between Newfoundland and mainland black bear populations. Canadian Journal of Zoology 79:1650–1660.
 35. Meers, M.B., 2002. Maximum bite force and prey size of *Tyrannosaurus rex* and their relationships to the inference of feeding behavior. Hist Biol 16:1–12.
 36. Milenkovic, M., Blagojević, V.J.Š.J., Tatović, S., Vujošević, M., 2010. Skull

- variation in Dinaric–Balkan and Carpathian gray wolf populations revealed by geometric morphometric approaches. *Journal of Mammalogy*, 91(2):376-386.
37. Miller, E.H., Mahoney, S.P., Kennedy, M.L., Kennedy, P.K., 2009. Variation, Sexual Dimorphism and Allometry in Molar size of the Balack Bear, *Journal of Mammalogy*, Vol. 90, No. 2.
38. Mukasa, K., 1934. The growth of the crania of Yezo brown bear. *Trans. Sapporo Nat. Hist. Soc.*, 15: 96-111.
39. Naples, V.L., MacAfee, R.K., 2012. Reconstruction of the cranial musculature and masticatory function of the Pleistocene panamerican ground sloth *Eremotherium laurillardi* (Mammalia, Xenarthra, Megatheriidae). *Historical Biology*, 24: 187-206.
40. Nezami, B., 2008. Ecological study of brown bear (*Ursus arctos*) on Golestanak Core Zone in Central Alborz Protected Area, Mazandaran Province. MSc Thesis. Tehran (Iran): Islamic Azad University, 134 p. (In Persian).
41. Nezami, B., Farhadinia, M.S., Sinakaei, Y., Nosrati, M., 2010. The First Ecological Study on Brown Bear (*Ursus arctos*) in Iran: North Central Alborz Protected Area. Poster in 19th International Conference on Bear Research and Management, Georgia.
42. Nezami, B., 2013. Seasonal Food Habits of Brown Bear (*Ursus arctos syriacus*) in Central Alborz Protected Area. Taxonomy and Biosystematic, 1392-Autmn, In Press. (In Persian).
43. Ochoa, B.K., Nanda, R.S. 2004. Comparison of maxillary and mandibular growth. *Am J Orthod Dentofacial Orthop* 125:148-159.
44. Ohdachi, S., Aoi, T., Mano, T., Tsubota, T., 1992. Growth, sexual dimorphism, and geographical variation of skull dimensions of the brown bear *Ursus arctos* in Hokkaido. *Journal of Mammalogy Soc Japan*, 17(1): 27-47.
45. Peng,J., Jiang, Z., Liu, W., Huang, S., Zhang, J., Wang, W., 2001. Growth and development of giant panda (*Ailuropoda melanoleuca*) cubs at Beijing Zoo. *J Zool* 254:261-266.
46. Pulliainen, E., Luukkonen, Y., Hietajarvi, T., 1984. Formation of a dominance hierarchy among wild brown bears (*Ursus arctos*). *Zeit. Saugetierkunde*, 49: 58-59.
47. Radloff, F.G.T., Du Toit, J.T., 2004. Large predators and their prey in a southern African savanna: a predator's size determines its prey size range. *J Anim Ecol* 73: 410–423.
48. Rausch, R.L., 1961. Notes on the black bear *Ursus americanus pallas* in Alaska, with particular reference to dentition on growth. *L. Saugtiern*, 26 (2):77-107.
49. Rausch, R.L., 1963. Geographic variation in size in North American brown bears, *Ursus arctos* L., as indicated by condylobasal length. *Canadian Journal of Zoology* 41:33–45.
50. Richtsmeier, J.T., Deleon, V.B., Lele, S.R., 2002. The promise of geometric morphometrics. *Yearbook of Physical Anthropology* 45:63-91.
51. Rohlf, F.J., 2006. *TpsDig2*, Version 2.10. *Ecology and Evolution*. Stony Brook, New York: Department of Ecology and Evolution, State University of New York.
52. Rohlf, F.J., 2006. *TpsUtil*: Thin-plate spline utility v1.33. *Ecology & Evolution*, Suny at Stony Brook, New York: Department of Ecology and Evolution, State University of New York. Available at <http://life.bio.sunysb.edu/morph/>.
53. Sacco, T., Van Valbenburgh, B., 2004. Ecomorphological indicators of feeding behavior in the bears (Carnivora: Ursidae). *Journal of Zoology (London)* 263:41–54.
54. Sansom, R.S., Gabbott, S.E., Purnell, M.A., 2010. Non-random decay of chordate characters causes bias in fossil interpretation. *Nature* 463, 797–800.
55. Scharf, F.S., Juanes, F., Roundtree, R.A., 2000. Predator size - prey size relationships of marine fish predators: interspecific variation and effects of ontogeny and body size ontrophic-niche breadth. *Marine Ecol Prog Ser* 208: 229–248.
56. Suenaga, Y., 1972. Morphological studies on the skull of the Yezo brown bear 1. Growth of the skull size. *Jap. J. Vet. Sci.*, 34: 17 - 28 (with English abstract).
57. Tabatabaei, F., 2011. Patterns of variation in skull phenotypes in *Meriones* (Rodentia: Muridae) from the Iranian region, in relation to species and environmental-geographical

- diversity. Thesis submitted to obtain the degree of doctor in Sciences. Ferdowsi University of Mashhad and Faculty of Sciences Department of Biology.
58. Van Snik, G.M.J., van den Boogaart, J.G.M., Osse, J.W.M., 1997. Larval growthpatterns in *Cyprinus carpio* and *Clarias gariepinus*with attention to finfold. *Journal Fish Biology*, 50:1339–1352.
59. Werdelin, L., Solounias, N., 1991. The Hyaenidae: taxonomy, systematics and evolution. *Fossils and Strata* 30, 1–104.
60. Witmer, L.M., 1997. The evolution of the antorbital cavity of Archosaurs: a study in soft-tissue reconstruction in the fossil record with an analysis of the function of pneumaticity. *Journal of Vertebrate Paleontology* 17 (Suppl. 1), 1–73.
61. Zavatsky, B.P., 1976. The use of the skull in Age determination of the brown bear. Third International Conference on Bears, pp. 25: 275-279.
62. Zelditch, M.L., Swiderski, D.L., Sheets, H.D., Fink, W.L., 2004. Geometric Morphometrics for biologists: a primer. London: Elsevier Academic Press.
63. Ziae, H., 2007. A field Guide to Mammals of Iran. 2nd ed. Tehran (Iran): Wildlife Center Publication. 432 pp. (In Persian).